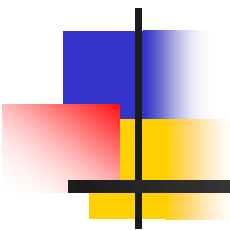


# Построение карт глубины и сопоставление стерео



Сергей Матюнин

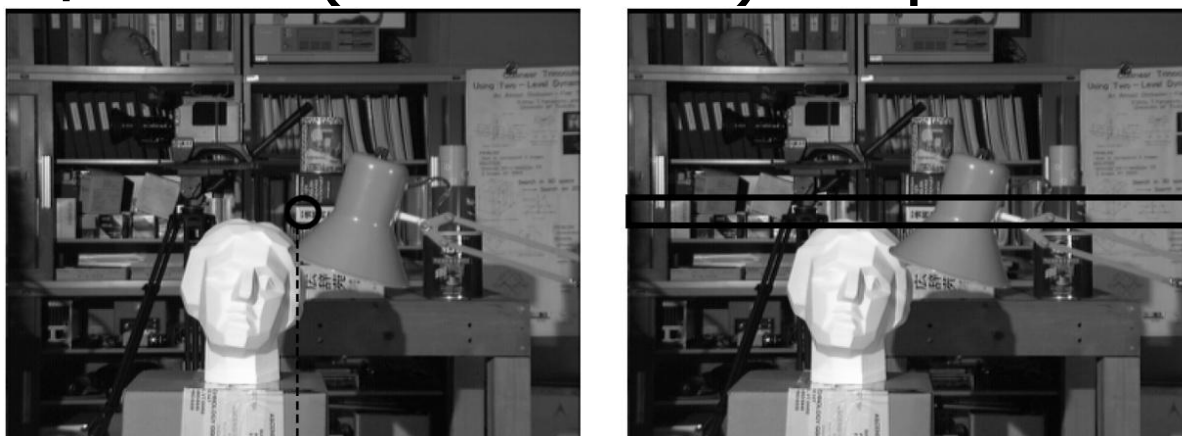
*Video Group  
CS MSU Graphics & Media Lab*

# Содержание

- Введение
- Connectivity-slant
- AdaptingBP
- Cooperative Optimization
- Сравнение

# Введение

- Вход: стерео-изображение
- Ищем функцию смещения  $d(x,y)$  (disparity)
- $d(x,y) \sim 1/D(x,y)$ , где  $D(x,y)$  – глубина
- Очищенное (rectified) стерео



Scharstein and Szeliski. A taxonomy and evaluation of dense two-frame stereo correspondence algorithms. IJCV 2002.

# Введение

## Схема алгоритма

- Вычисление функции стоимости
- Суммирование стоимости
- Вычисление/оптимизация карты смещения
- Уточнение

Scharstein and Szeliski. A taxonomy and evaluation of dense two-frame stereo correspondence algorithms. IJCV 2002.

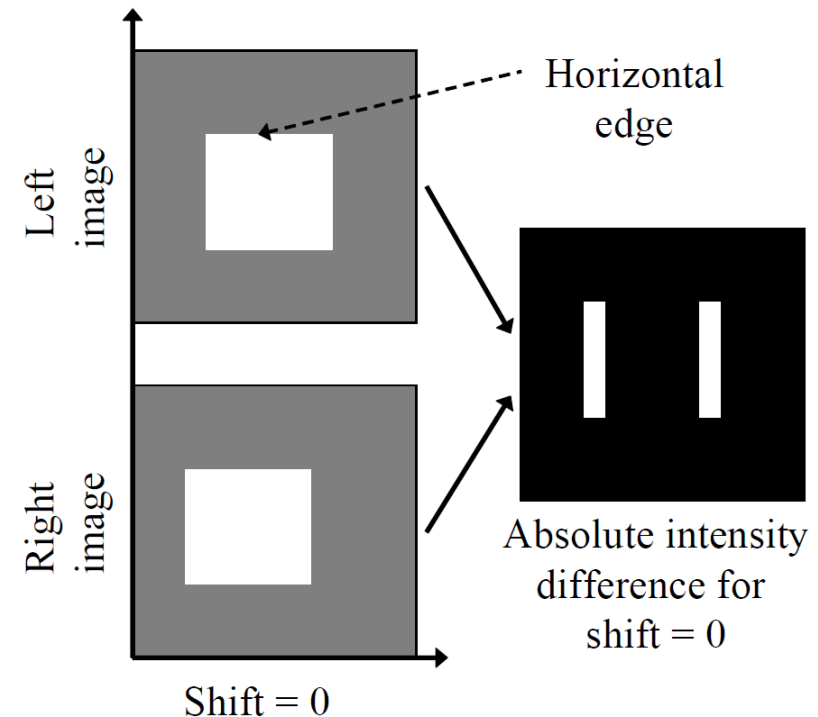
# Содержание

- Введение
- Connectivity-slant
- AdaptingBP
- Cooperative Optimization
- Сравнение

# Connectivity-slant

## Плоский мир

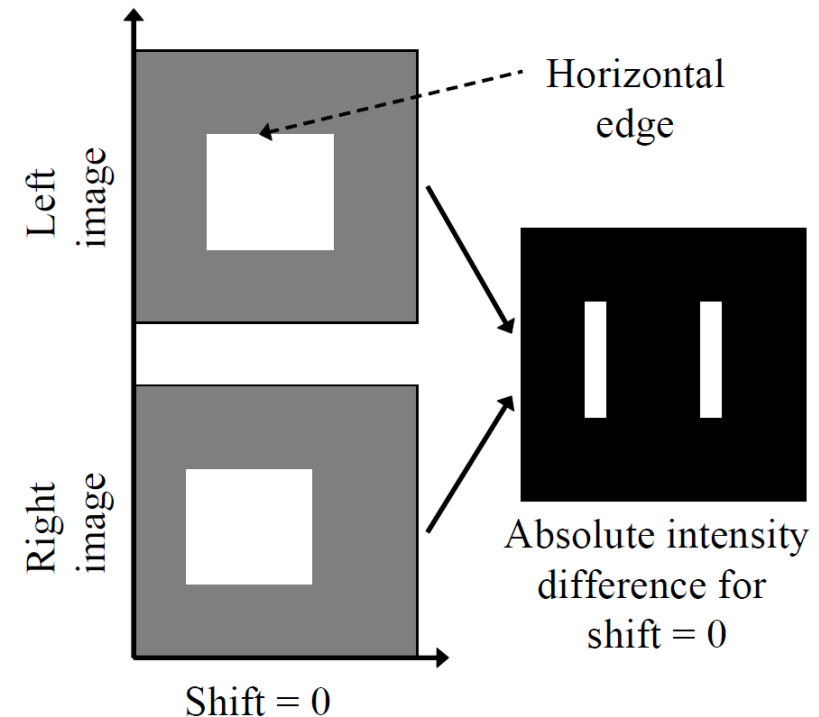
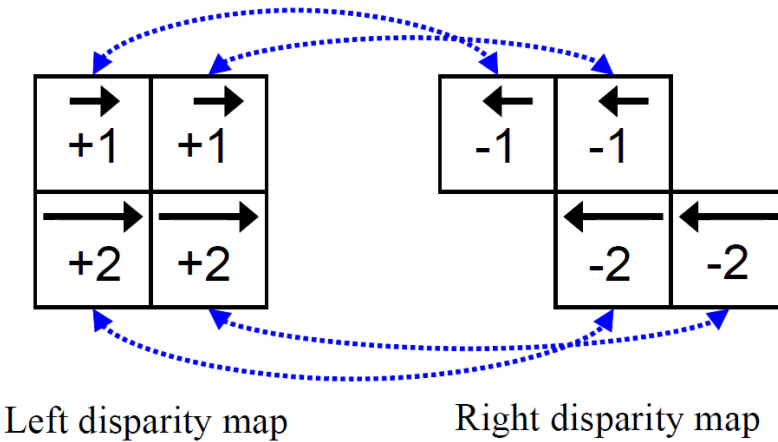
- Модель глубины: кусочно-постоянная функция
- Правильное смещение максимизирует площадь сегмента сопоставления и наоборот
- Сегментация и сопоставление – только совместное решение



# Connectivity-slant

## Плоский мир

Распространение  
связности через  
горизонтальные  
границы



# Connectivity-slant

## Однозначность и наложения

- Соответствие «один к одному» для пикселей
- Если нашли соответствие  $(I_{left}, I_{right})$  то пары  $(I_{left}', I_{right})$  и  $(I_{left}, I_{right}')$  отбрасываем
- Пиксели, которые не попали в какую-либо пару, помечаем как наложение

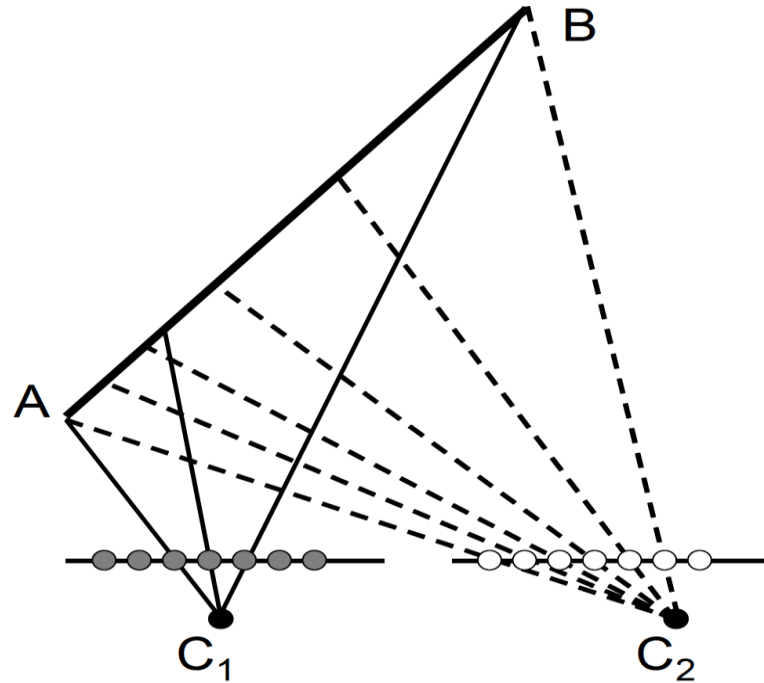
# Connectivity-slant

## Алгоритм для плоского мира

- Построчная обработка
- Для всех возможных значений  $\delta_x$ :
  - Сдвигаем  $I_L$  на  $\delta_x$ . Полученное  $I'_L$  сопоставляем с  $I_R$
  - Если есть горизонтальная граница, разрываем связность с предыдущей строкой
  - Строим связанные компоненты
  - Находим веса
  - Обновляем карту смещений, учитывая ограничения единственности

# Connectivity-slant

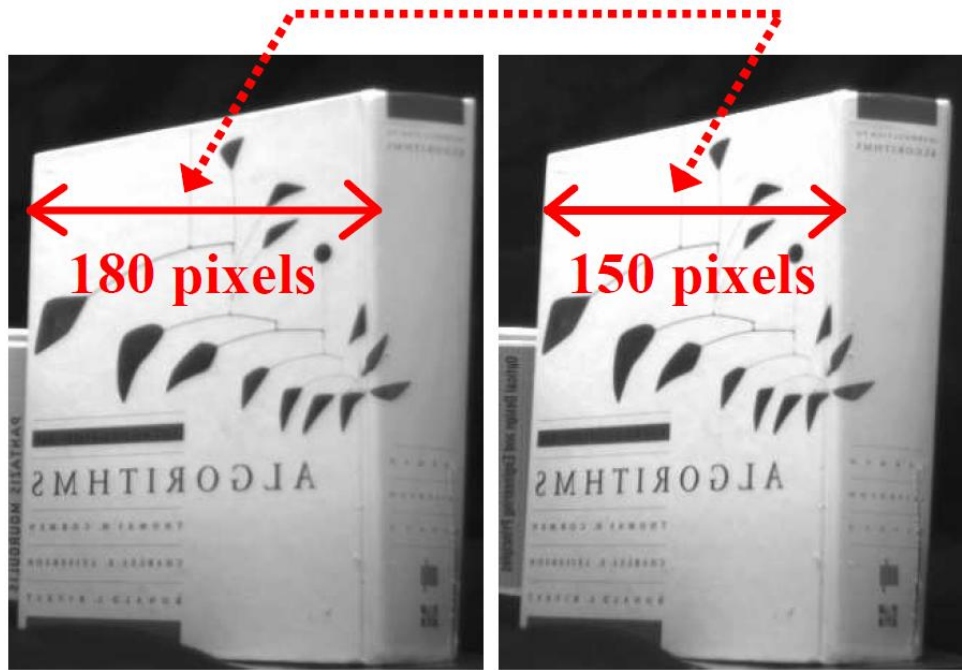
## Алгоритм для не плоского мира



- $N$  пикселей одного изображения соответствуют  $M$  пикселям другого
- Нужно сопоставлять не точки, а интервалы

# Connectivity-slant

## Алгоритм для не плоского мира



Сначала растянуть изображение, потом  
искать соответствие

# Connectivity-slant

## Горизонтальный наклон

- Рассматриваем линейную зависимость между точками левого и правого изображений

$$x_R = m_L(x_L) \cdot x_L + d_L(x_L)$$

$$x_L = m_R(x_R) \cdot x_R + d_R(x_R)$$

$$m_R(x_R) = 1/m_L(x_L)$$

$$d_R(x_R) = -d_L(x_L)/m_L(x_L)$$

$$\Delta_L(x_L) = x_R - x_L = (m_L(x_L) - 1) \cdot x_L + d_L(x_L)$$

$$\Delta_R(x_R) = x_L - x_R = (m_R(x_R) - 1) \cdot x_R + d_R(x_R)$$

- $m_L$  и  $m_R$  характеризуют горизонтальный наклон
- Максимизируем длину сегмента, содержащего точку

# Connectivity-slant

## Birchfield and Tomasi method

$$I_L(x_L - \frac{1}{2}), I_L(x_L + \frac{1}{2}), I_R(x_R - \frac{1}{2}), I_R(x_R + \frac{1}{2})$$

$$I_L^{\min} = \min \{I_L(x_L - \frac{1}{2}), I_L(x_L), I_L(x_L + \frac{1}{2})\}$$

$$I_L^{\max} = \max \{I_L(x_L - \frac{1}{2}), I_L(x_L), I_L(x_L + \frac{1}{2})\}$$

$I_R^{\min}, I_R^{\max}$  – аналогично

$$d_L = \max \{0, I_L(x_L) - I_R^{\max}, I_R^{\min} - I_L(x_L)\}$$

$$d_R = \max \{0, I_R(x_R) - I_L^{\max}, I_L^{\min} - I_R(x_R)\}$$

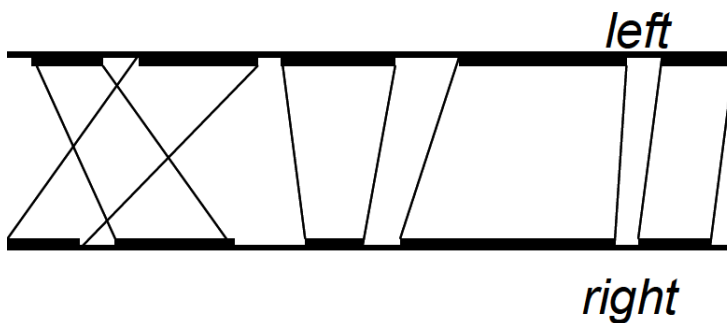
$d = \min \{d_L, d_R\}$  – разность между  $x_L$  и  $x_R$

Ogale, Aloimonos. Shape and the stereo correspondence problem. IJCV 2005.

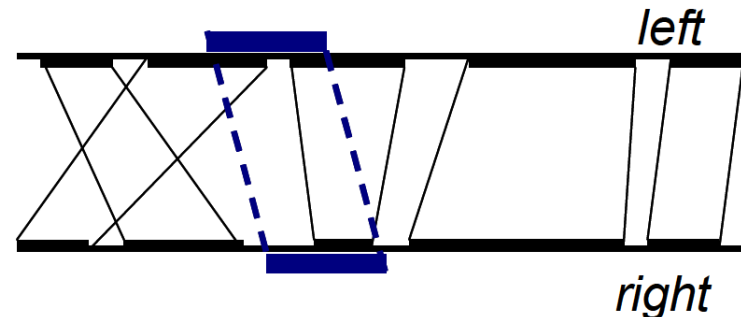
# Connectivity-slant

## Однозначность

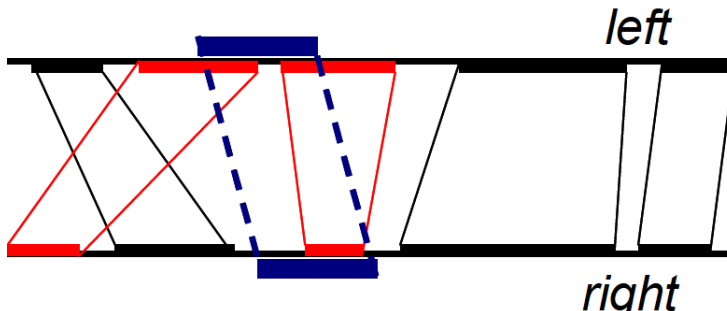
(a) Initial correspondence



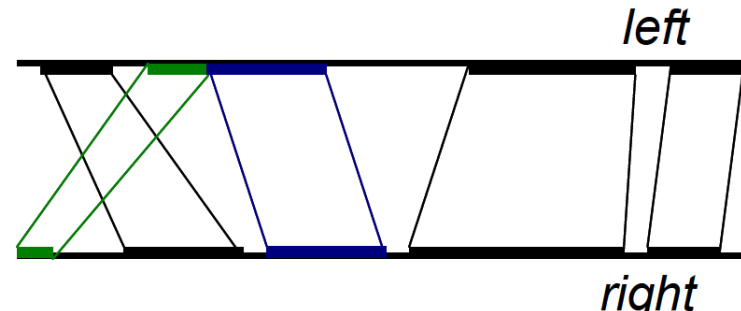
(b) Insert new pair of matching intervals



(c) Enforce uniqueness constraint



(d) Final correspondence



Ogale, Aloimonos. Shape and the stereo correspondence problem. IJCV 2005.

# Connectivity-slant

## Горизонтальный наклон

- Построчное сопоставление
- Максимизация связности по строке
- Сопоставление интервалов
- Ограничения единственности и наложений

# Connectivity-slant

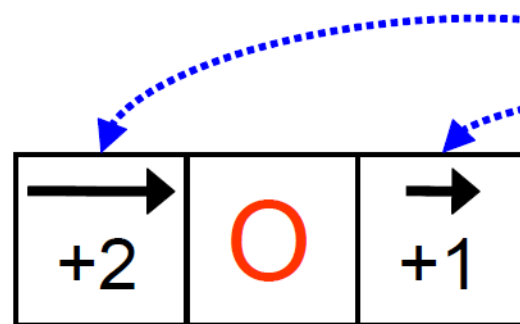
## Алгоритм

- Для всех возможных коэффициентов растяжения  $m_L$  и смещений  $\Delta_L$ :
  - Растигнуть  $I_L$  на  $m_L$ . Получить  $I'_L$
  - Найти  $d_L$  по  $\Delta_L$  из уравнения
$$\Delta_L = (m_L - 1) x_L + d_L$$
  - Сопоставить  $I'_L$  с  $I_R$ , используя  $d_L$
  - Найти связанные сегменты и их веса
  - Обновить карту смещений, учитывая ограничения единственности
- Аналогично для коэффициентов  $m_L$  и  $\Delta_L$

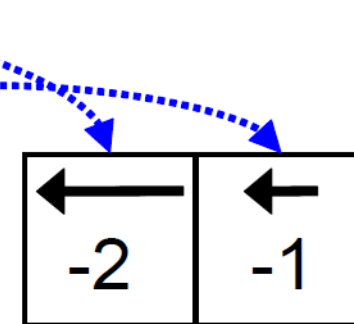
# Connectivity-slant

Вертикальный наклон

- Изменения по горизонтали
- Есть наложение
- Нет горизонтального наклона



Left disparity map

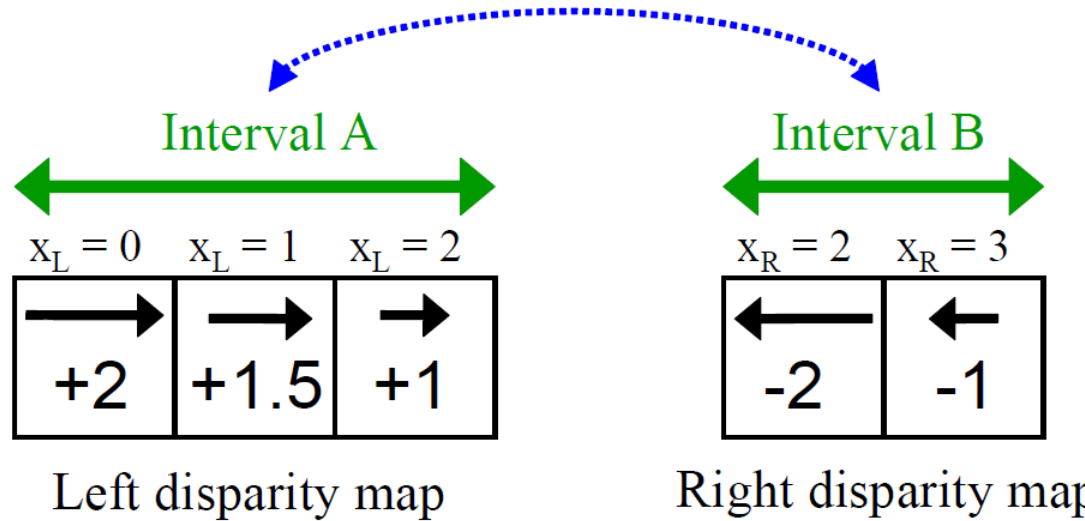


Right disparity map

# Connectivity-slant

## Вертикальный наклон

- Изменения по горизонтали
- Нет наложения
- Есть горизонтальный наклон

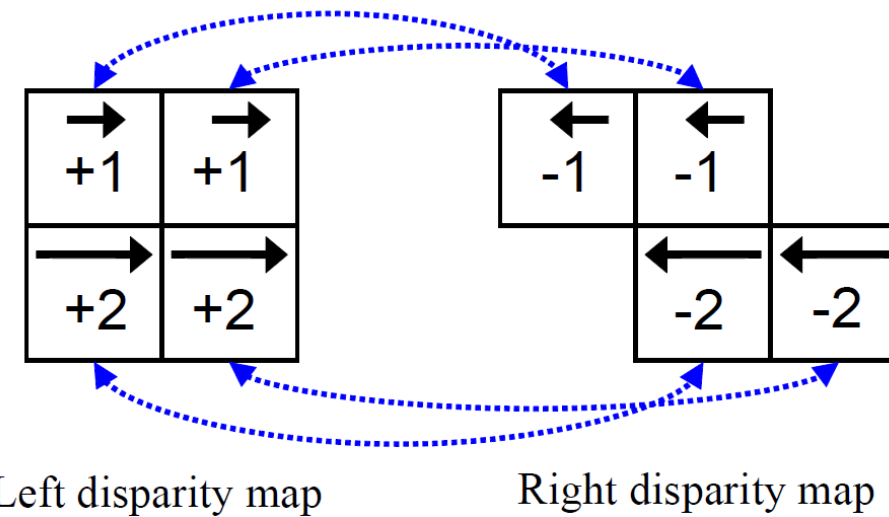


Ogale, Aloimonos. Shape and the stereo correspondence problem. IJCV 2005.

# Connectivity-slant

## Вертикальный наклон

- Изменения по вертикали
- Есть вертикальный наклон или разрыв



# Connectivity-slant

## Вертикальный наклон

- Для надежности можно считать, что горизонтальная граница всегда признак разрыва
- Если нет границы, то разрыв тоже может быть
- Нужно использовать восстановление формы по текстуре, освещению и т. д.

# Connectivity-slant

## Реализация

- Скрипт для MATLAB
- CPU Celeron 1.8 GHz
- Cones – ~5 с

# Connectivity-slant

Оригинал



Ogale, Aloimonos. Shape and the stereo correspondence problem. IJCV 2005.

# Connectivity-slant

## Ground truth



Ogale, Aloimonos. Shape and the stereo correspondence problem. IJCV 2005.

# Connectivity-slant

Результат



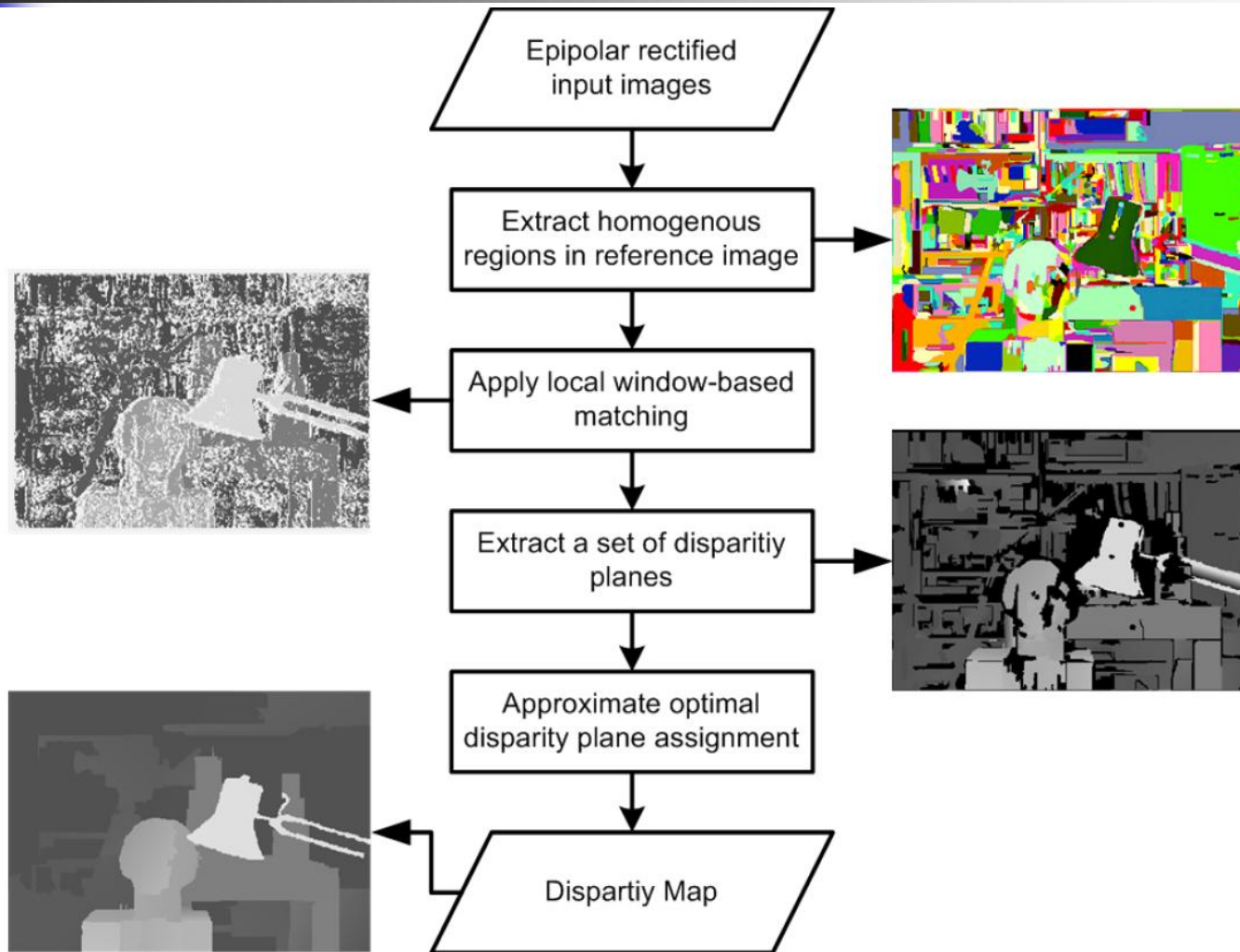
Ogale, Aloimonos. Shape and the stereo correspondence problem. IJCV 2005.

# Содержание

- Введение
- Connectivity-slant
- AdaptingBP
- Cooperative Optimization
- Сравнение

# AdaptingBP

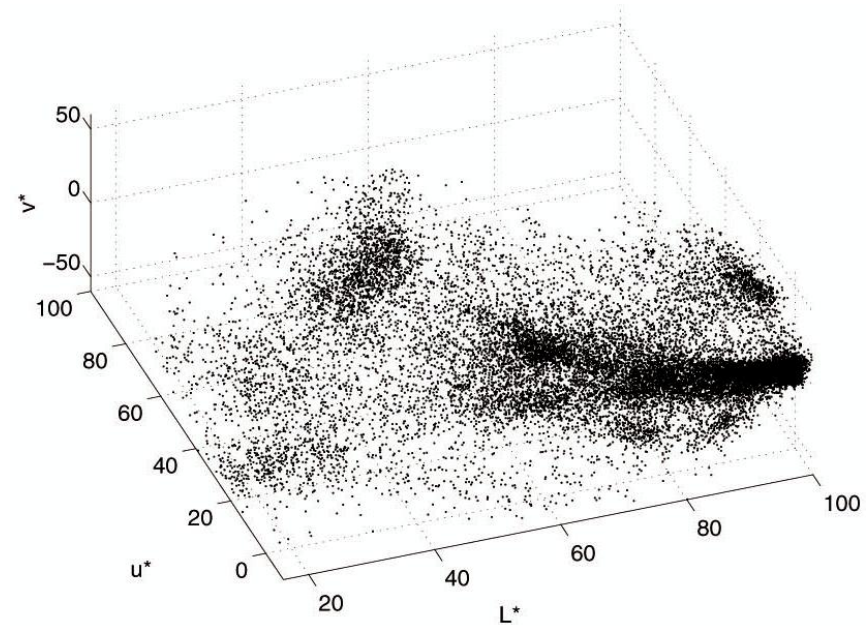
## Схема метода



# AdaptingBP

## Color segmentation

- Mean shift color segmentation
- Излишняя сегментация предпочтительна



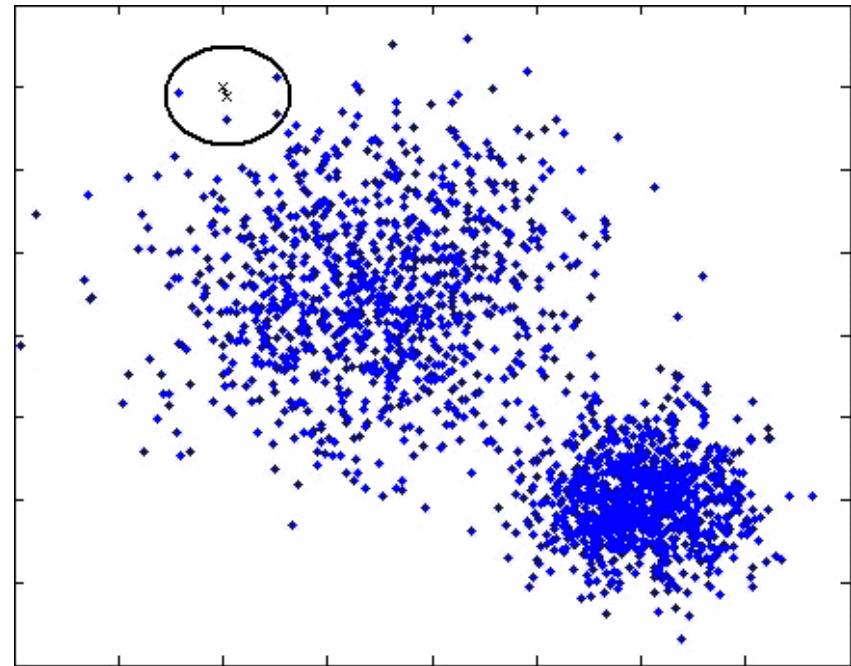
C.Yang et al. Mean-shift analysis using quasi-newton methods. ICIP 2003.

# AdaptingBP

## Mean Shift

$$\mathbf{m}(\mathbf{x}) = \frac{\sum_{i=1}^n \mathbf{x}_i g\left(\left\|\frac{\mathbf{x}-\mathbf{x}_i}{h}\right\|^2\right)}{\sum_{i=1}^n g\left(\left\|\frac{\mathbf{x}-\mathbf{x}_i}{h}\right\|^2\right)} - \mathbf{x}$$

$$\mathbf{x}^{k+1} = \mathbf{x}^k + \mathbf{m}(\mathbf{x}^k)$$



# AdaptingBP

## Self-adapting dissimilarity measure

$$C_{SAD}(x, y, d) = \sum_{(i,j) \in N(x,y)} I_1(i, j) - I_2(i + d, j)$$

$$C_{GRAD}(x, y, d) = \sum_{(i,j) \in N_x(x,y)} |\nabla_x I_1(i, j) - \nabla_x I_2(i + d, j)| + \\ \sum_{(i,j) \in N_y(x,y)} |\nabla_y I_1(i, j) - \nabla_y I_2(i + d, j)|,$$

- $N(x, y)$  – окно  $3 \times 3$
- $N_x(x, y)$  – окно без правого столбца
- $N_y(x, y)$  – окно без нижней строки

A. Klaus, M. Sormann and K. Karner. Segment-based stereo matching using belief propagation and a self-adapting dissimilarity measure. ICPR 2006.

# AdaptingBP

## Self-adapting dissimilarity measure

- Итоговая метрика

$$C(x, y, d) = (1 - \omega) * C_{SAD}(x, y, d) + \omega * C_{GRAD}(x, y, d)$$

- $\omega$  определяется максимизацией количества надежных соответствий (проверка left-to-right и right-to-left)
- По надежным соответствиям можно определить уровень шума

A. Klaus, M. Sormann and K. Karner. Segment-based stereo matching using belief propagation and a self-adapting dissimilarity measure. ICPR 2006.

# AdaptingBP

## Аппроксимация плоскостями

- Используем только надежные соответствия
- Нужна устойчивость к выбросам
- Оценка проводится последовательно
  - по горизонтальным линиям
  - по вертикальным линиям
  - для всего сегмента

A. Klaus, M. Sormann and K. Karner. Segment-based stereo matching using belief propagation and a self-adapting dissimilarity measure. ICPR 2006.

# AdaptingBP

## Аппроксимация плоскостями

- Оценка горизонтального наклона:
  - Надежные соответствия внутри одного сегмента на одной горизонтальной линии
  - Гистограмма  $\delta d / \delta x$
  - Сглаживание гистограммы
  - Выбор максимума («голосование»)
- Оценка вертикального наклона
  - Аналогично
- Используем наклон плоскости для устойчивой оценки смещения сегмента

A. Klaus, M. Sormann and K. Karner. Segment-based stereo matching using belief propagation and a self-adapting dissimilarity measure. ICPR 2006.

# AdaptingBP

## Уточнение

- Для каждого сегмента и плоскости вычисляем стоимость:

$$C_{SEG}(S, P) = \sum_{(x,y) \in S} C(x, y, d)$$

$d$  – смещение для плоскости Р

- Для каждого сегмента выбираем плоскость с наименьшей стоимостью
- Группируем сегменты по плоскостям
- Повторяем оценку плоскостей для полученных групп

A. Klaus, M. Sormann and K. Karner. Segment-based stereo matching using belief propagation and a self-adapting dissimilarity measure. ICPR 2006.

# AdaptingBP

## Устойчивая оценка плоскостей

- Ищем разметку сегментов  $f(s)$

$$E(f) = E_{data}(f) + E_{smooth}(f)$$

$$E_{data}(f) = \sum_{s \in R} C_{SEG}(s, f(s))$$

$$E_{smooth}(f) = \sum_{(\forall (s_i, s_j) \in S_N \mid f(s_i) \neq f(s_j))} \lambda_{disc}(s_i, s_j)$$

- $S_N$  – множество соседних сегментов  
 $\lambda_{disc}(s_i, s_j)$  – штраф (длина общей границы и похожесть цветов)
- Loopy Belief Propagation

A. Klaus, M. Sormann and K. Karner. Segment-based stereo matching using belief propagation and a self-adapting dissimilarity measure. ICPR 2006.

# AdaptingBP

## Реализация

- CPU Athlon64 2.21GHz
- 14 – 25 с
- Большая часть – сегментация

A. Klaus, M. Sormann and K. Karner. Segment-based stereo matching using belief propagation and a self-adapting dissimilarity measure. ICPR 2006.

# AdaptingBP

## Оригинал



A. Klaus, M. Sormann and K. Karner. Segment-based stereo matching using belief propagation and a self-adapting dissimilarity measure. ICPR 2006.

# AdaptingBP

## Ground truth



A. Klaus, M. Sormann and K. Karner. Segment-based stereo matching using belief propagation and a self-adapting dissimilarity measure. ICPR 2006.

# AdaptingBP

## Результат



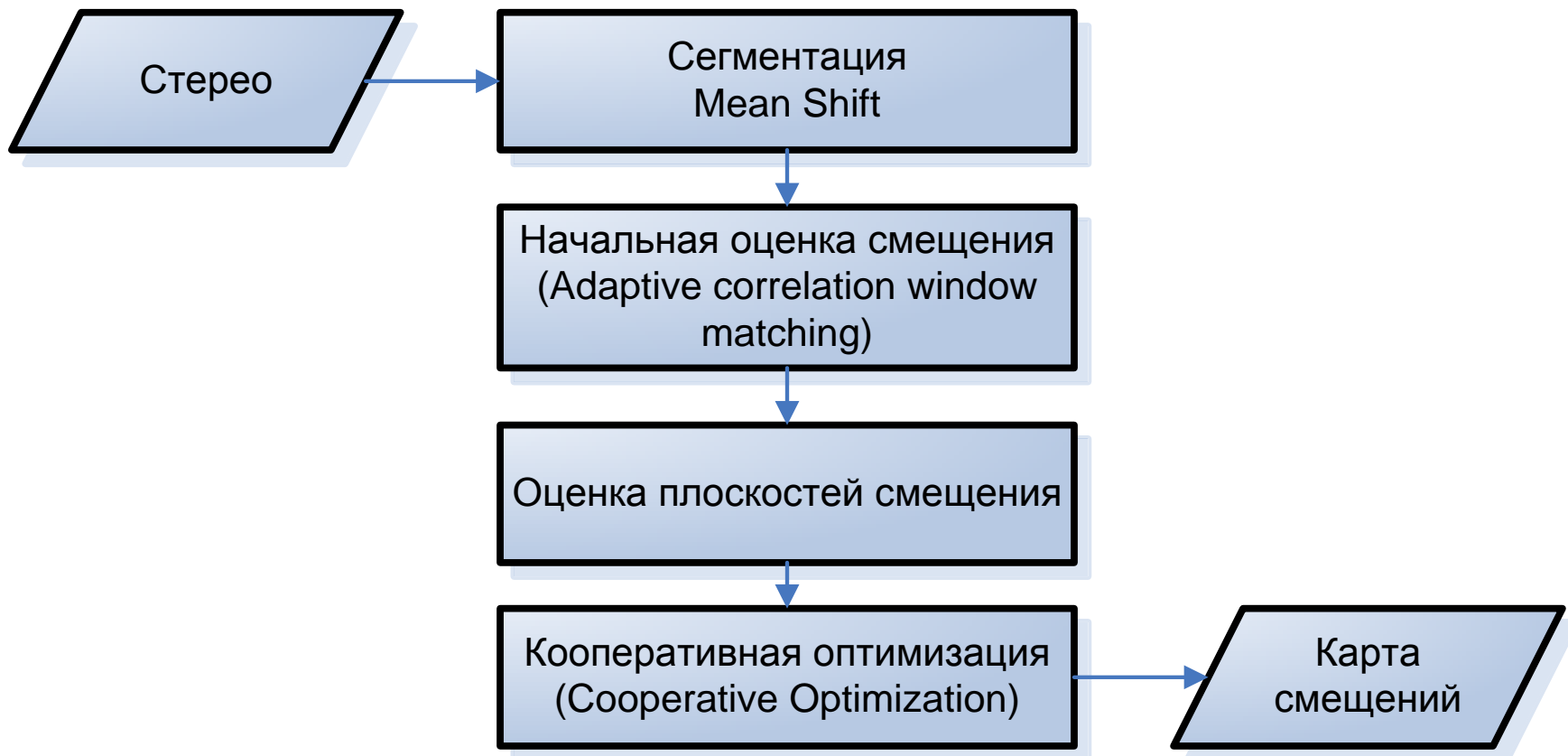
A. Klaus, M. Sormann and K. Karner. Segment-based stereo matching using belief propagation and a self-adapting dissimilarity measure. ICPR 2006.

# Содержание

- Введение
- Connectivity-slant
- AdaptingBP
- Cooperative Optimization
- Сравнение

# Cooperative Optimization

## Схема алгоритма



Z. Wang, Z. Zheng. A Region Based Stereo Matching Algorithm Using Cooperative Optimization. CVPR 2008.

# Cooperative Optimization

## Начальное приближение

- Суммирование функции стоимости в окрестности с весами
- Вес зависит от принадлежности к текущему сегменту
- Для соседних сегментов вес ненулевой

Z. Wang, Z. Zheng. A Region Based Stereo Matching Algorithm Using Cooperative Optimization. CVPR 2008.

# Cooperative Optimization

## RANSAC



- Повторяем заданное количество раз:
  - Выбираем  $k$  случайных элементов из  $n$  исходных
  - Строим по ним модель
  - Считаем количество элементов, удовлетворяющих модели (inlier)
- Модель с наибольшим количеством inlier будет результатом

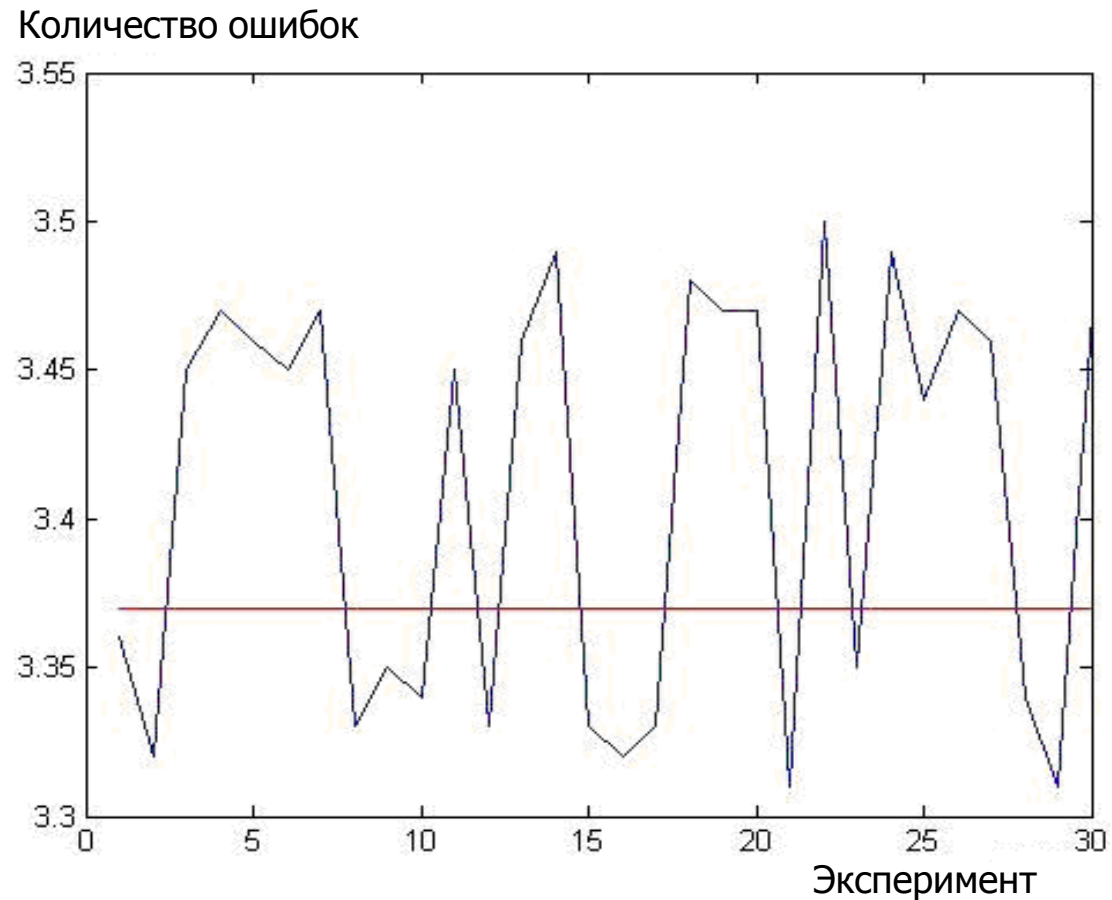
Z. Wang, Z. Zheng. A Region Based Stereo Matching Algorithm Using Cooperative Optimization. CVPR 2008.

# Cooperative Optimization

## Устойчивость к выбросам



- Сравнение RANSAC и алгоритма голосования
- Голосование более устойчиво



Z. Wang, Z. Zheng. A Region Based Stereo Matching Algorithm Using Cooperative Optimization. CVPR 2008.

# Cooperative Optimization

## Идея



- Разбиваем задачу на подзадачи
- Оптимизируем отдельно
- Поддерживаем постоянными общие параметры
- Повторяем до сходимости

Z. Wang, Z. Zheng. A Region Based Stereo Matching Algorithm Using Cooperative Optimization. CVPR 2008.

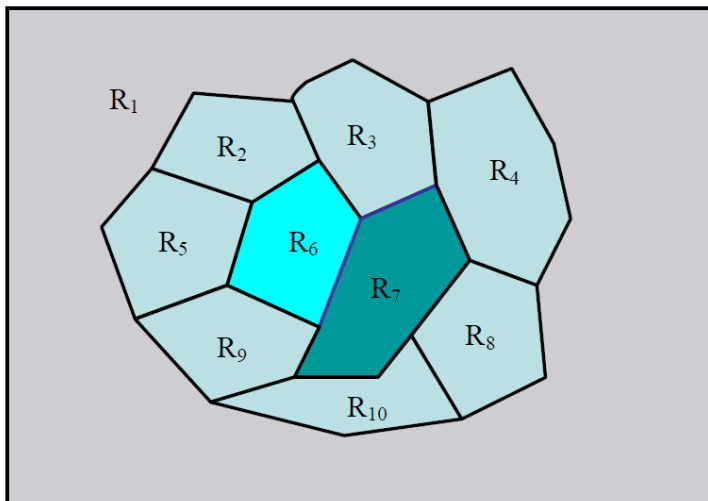
# Cooperative Optimization

Представляем энергию в виде суммы по сегментам:

$$E(x) = E_1(x) + E_2(x) + \dots + E_n(x)$$

Оптимизация для каждого сегмента

$$E'_i(x) = \min_x ((1 - \lambda_i) \cdot E_i(x) + \lambda_i \sum_{j \neq i} w_{ij} E_j(x))$$



Z. Wang, Z. Zheng. A Region Based Stereo Matching Algorithm Using Cooperative Optimization. CVPR 2008.

# Cooperative Optimization

## Функционал энергии

$$E_i = E_{data} + E_{occlude} + E_{smooth}$$

$$E_{data} = \max_{p \in V_l \text{ and } q \in V_r} (|r(p) - r(q)|, |g(p) - g(q)|, |b(p) - b(q)|)$$

$V_l$  и  $V_r$  – множества видимых пикселей  
 $q$  и  $p$  – сопоставленные пиксели

Если смещение не целочисленное, интерполируем

Z. Wang, Z. Zheng. A Region Based Stereo Matching Algorithm Using Cooperative Optimization. CVPR 2008.

# Cooperative Optimization

## Наложения

$$E_i = E_{data} + E_{occlude} + E_{smooth}$$

$$E_{occlude} = |Occ| \lambda_{occ}$$

$\lambda_{occ}$  – штраф за наложение

$|Occ|$  – количество пикселей с наложением

# Cooperative Optimization

## Гладкость



$$E_i = E_{data} + E_{occlude} + E_{smooth}$$

$$E_{smooth} = \sum_{p \in B_c} \begin{cases} \lambda_s & \text{if } |d(p) - d(q)| \geq 1 \\ 0 & \text{Otherwise} \end{cases}$$

$B_c$  – множество пикселей границы  $p \in B_c$

$q$  – соседний пиксель с

$d(p)$  и  $d(q)$  – смещение р и q

$\lambda_s$  – константа-штраф

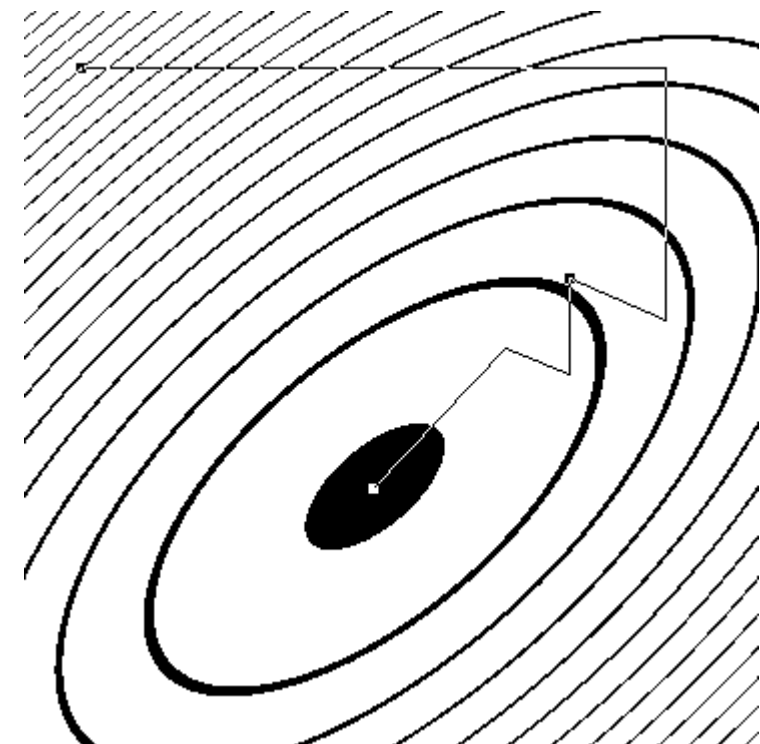
Z. Wang, Z. Zheng. A Region Based Stereo Matching Algorithm Using Cooperative Optimization. CVPR 2008.

# Cooperative Optimization

## Функционал энергии



- На каждой итерации  
находим локальный  
минимум
- Метод Пауэлла



Z. Wang, Z. Zheng. A Region Based Stereo Matching Algorithm Using Cooperative Optimization. CVPR 2008.

# Cooperative Optimization

Оригинал



# Cooperative Optimization

1-я итерация:  $e=516622.0$



# Cooperative Optimization

4-я итерация:  $e=467576.0$



# Cooperative Optimization

Ground Truth



# Cooperative Optimization

## Реализация



- VC8.0
- CPU PM1.6G
- Tsukuba – ~20 с
- 4 итерации
- Сегментация – 8 с

Z. Wang, Z. Zheng. A Region Based Stereo Matching Algorithm Using Cooperative Optimization. CVPR 2008.

# Содержание

- Введение
- Connectivity-slant
- AdaptingBP
- Cooperative Optimization
- Сравнение

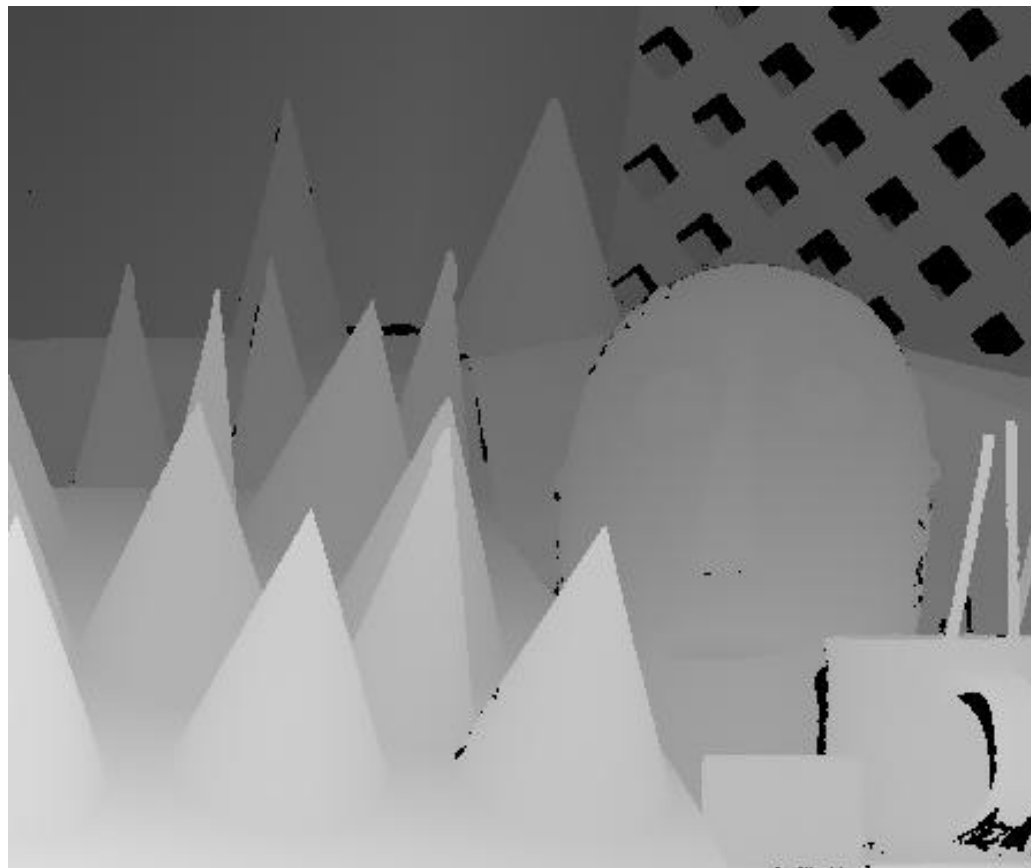
# Сравнение

## Оригинал



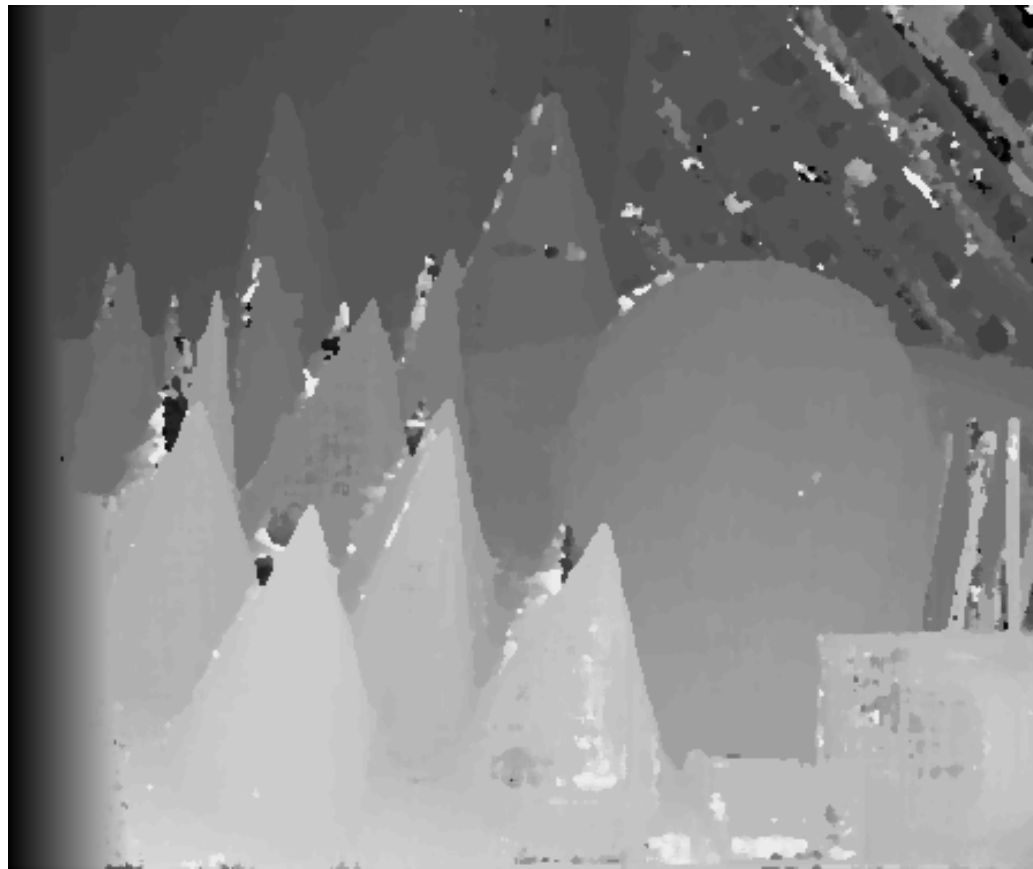
# Сравнение

## Ground truth



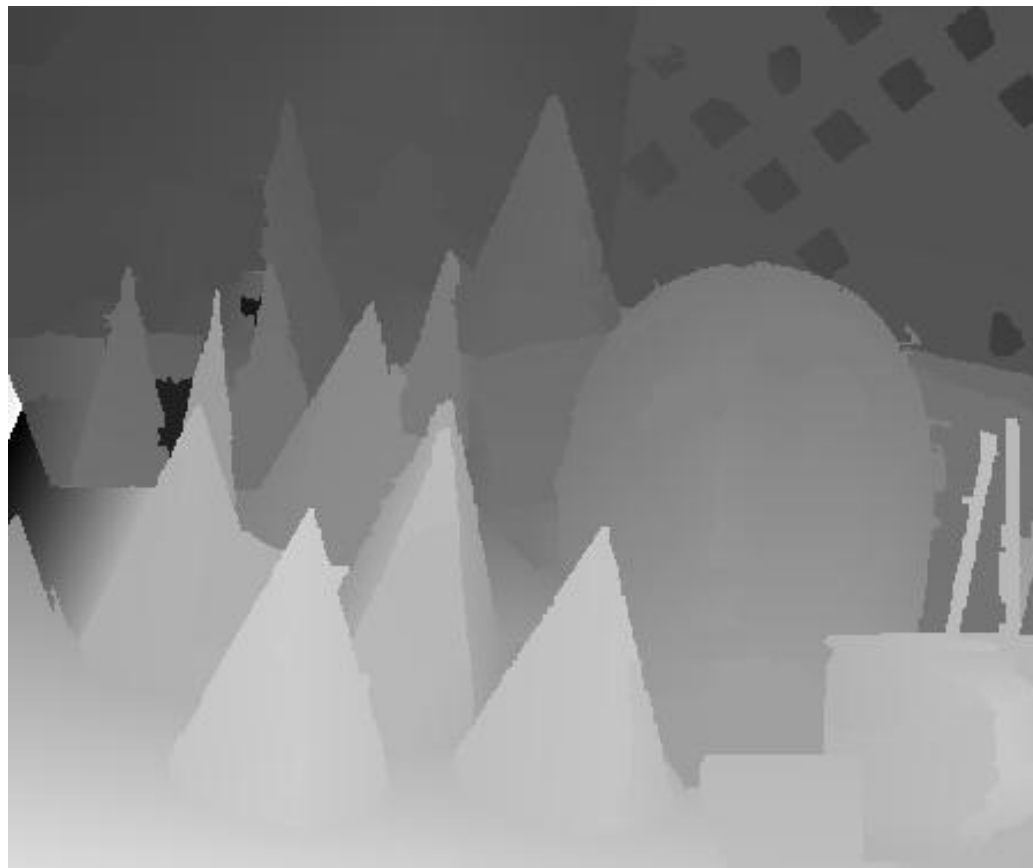
# Сравнение

## Connectivity-slant



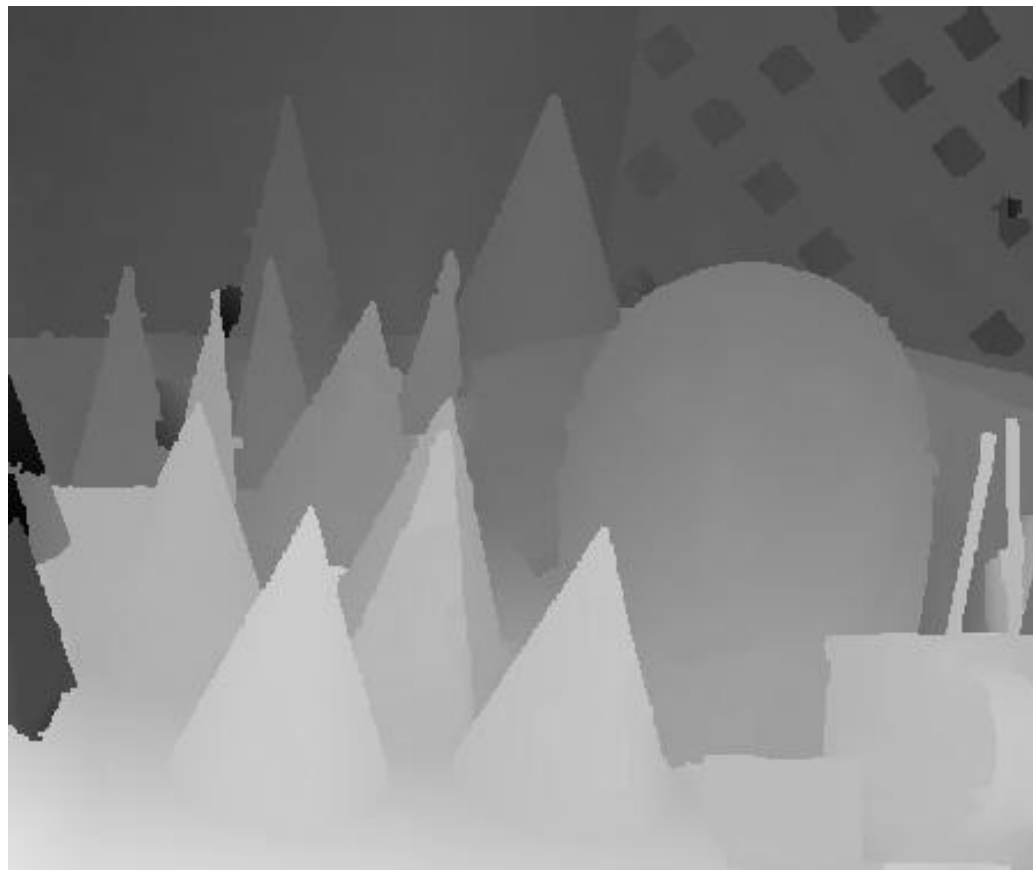
# Сравнение

## AdaptingBP



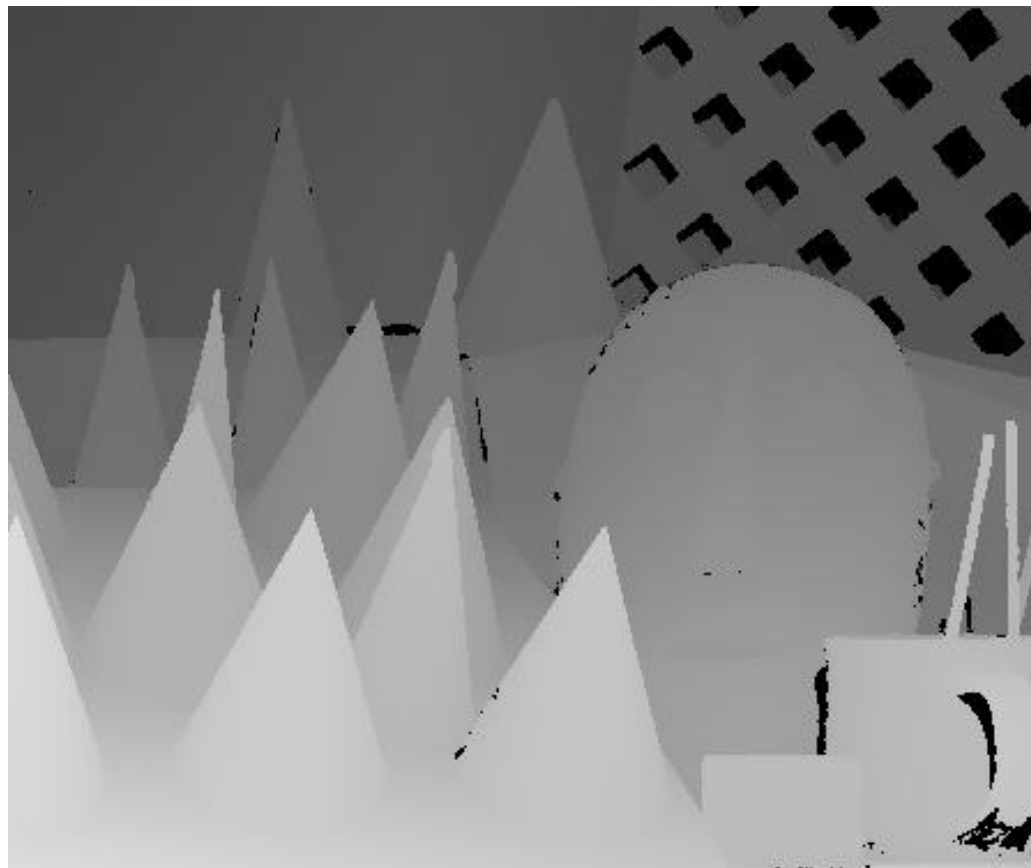
# Сравнение

## CoopRegion



# Сравнение

## Ground truth

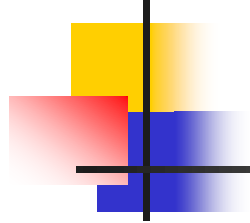


# Сравнение

Алгоритм	Ошибка					Время работы
	Tsukuba	Venus	Teddy	Cones	Среднее	
AdaptingBP	1.11	0.10	4.22	2.48	4.23	14–25 с (осн. – сегментация)
CoopRegion	0.87	0.11	5.16	2.79	4.41	20 с (8 с – сегментация)
DoubleBP	0.88	0.13	3.53	2.90	4.19	
GC+occ	1.19	1.64	11.2	5.36	8.26	
Connectivity-slant	1.77	3.00	-	-	-	5 с

# Список литературы

- Z. Wang, Z. Zheng. A Region Based Stereo Matching Algorithm Using Cooperative Optimization. CVPR 2008.
- A. S. Ogale, Y. Aloimonos. Shape and the stereo correspondence problem. International Journal of Computer Vision, vol. 65, no. 3, 147-162, 2005.
- D. Scharstein and R. Szeliski. A taxonomy and evaluation of dense two-frame stereo correspondence algorithms. International Journal of Computer Vision, 2002.
- A. Klaus, M. Sormann and K. Karner. Segment-based stereo matching using belief propagation and a self-adapting dissimilarity measure. ICPR 2006.
- C. Yang et al. Mean-shift analysis using quasi-newton methods. ICIP 2003.
- Scharstein and Szeliski. Middlebury Stereo Evaluation.  
<http://vision.middlebury.edu/stereo/eval/>



# Вопросы

?